

Starkniederschlagshöhen und -spenden gemäß KOSTRA-DWD-2020

Rasterfeld 168115

(Zeile 168, Spalte 115)

Regenspende und Bemessungsniederschlagswerte in Abhängigkeit von Wiederkehrzeit T und Dauerstufe D

| Dauerstufe D | | Wiederkehrzeit T | | | | | | | | | | | | | | | | | |
|--------------|-----|------------------|------------|------|------------|------|------------|------|------------|------|------------|------|------------|------|------------|-------|------------|-------|------------|
| | | 1 a | | 2 a | | 3 a | | 5 a | | 10 a | | 20 a | | 30 a | | 50 a | | 100 a | |
| min | Std | mm | l / (s ha) | mm | l / (s ha) | mm | l / (s ha) | mm | l / (s ha) | mm | l / (s ha) | mm | l / (s ha) | mm | l / (s ha) | mm | l / (s ha) | mm | l / (s ha) |
| 5 | | 7,8 | 260,0 | 9,6 | 320,0 | 10,7 | 356,7 | 12,2 | 406,7 | 14,3 | 476,7 | 16,4 | 546,7 | 17,9 | 596,7 | 19,7 | 656,7 | 22,4 | 746,7 |
| 10 | | 9,8 | 163,3 | 12,0 | 200,0 | 13,4 | 223,3 | 15,2 | 253,3 | 17,9 | 298,3 | 20,6 | 343,3 | 22,3 | 371,7 | 24,6 | 410,0 | 28,0 | 466,7 |
| 15 | | 11,0 | 122,2 | 13,5 | 150,0 | 15,0 | 166,7 | 17,0 | 188,9 | 19,9 | 221,1 | 23,0 | 255,6 | 24,9 | 276,7 | 27,5 | 305,6 | 31,2 | 346,7 |
| 20 | | 11,8 | 98,3 | 14,5 | 120,8 | 16,1 | 134,2 | 18,3 | 152,5 | 21,4 | 178,3 | 24,7 | 205,8 | 26,8 | 223,3 | 29,6 | 246,7 | 33,6 | 280,0 |
| 30 | | 13,0 | 72,2 | 15,9 | 88,3 | 17,7 | 98,3 | 20,1 | 111,7 | 23,6 | 131,1 | 27,2 | 151,1 | 29,5 | 163,9 | 32,5 | 180,6 | 36,9 | 205,0 |
| 45 | | 14,2 | 52,6 | 17,4 | 64,4 | 19,4 | 71,9 | 22,0 | 81,5 | 25,8 | 95,6 | 29,7 | 110,0 | 32,3 | 119,6 | 35,6 | 131,9 | 40,4 | 149,6 |
| 60 | 1 | 15,1 | 41,9 | 18,5 | 51,4 | 20,6 | 57,2 | 23,4 | 65,0 | 27,4 | 76,1 | 31,6 | 87,8 | 34,3 | 95,3 | 37,9 | 105,3 | 43,0 | 119,4 |
| 90 | 1,5 | 16,4 | 30,4 | 20,1 | 37,2 | 22,5 | 41,7 | 25,5 | 47,2 | 29,9 | 55,4 | 34,4 | 63,7 | 37,3 | 69,1 | 41,2 | 76,3 | 46,8 | 86,7 |
| 120 | 2 | 17,4 | 24,2 | 21,4 | 29,7 | 23,8 | 33,1 | 27,0 | 37,5 | 31,7 | 44,0 | 36,5 | 50,7 | 39,6 | 55,0 | 43,7 | 60,7 | 49,6 | 68,9 |
| 180 | 3 | 18,9 | 17,5 | 23,2 | 21,5 | 25,8 | 23,9 | 29,3 | 27,1 | 34,4 | 31,9 | 39,6 | 36,7 | 43,0 | 39,8 | 47,4 | 43,9 | 53,8 | 49,8 |
| 240 | 4 | 20,0 | 13,9 | 24,5 | 17,0 | 27,4 | 19,0 | 31,1 | 21,6 | 36,4 | 25,3 | 41,9 | 29,1 | 45,5 | 31,6 | 50,2 | 34,9 | 57,0 | 39,6 |
| 360 | 6 | 21,7 | 10,0 | 26,6 | 12,3 | 29,6 | 13,7 | 33,6 | 15,6 | 39,4 | 18,2 | 45,4 | 21,0 | 49,3 | 22,8 | 54,4 | 25,2 | 61,7 | 28,6 |
| 540 | 9 | 23,4 | 7,2 | 28,8 | 8,9 | 32,1 | 9,9 | 36,4 | 11,2 | 42,7 | 13,2 | 49,1 | 15,2 | 53,4 | 16,5 | 58,9 | 18,2 | 66,8 | 20,6 |
| 720 | 12 | 24,8 | 5,7 | 30,4 | 7,0 | 33,9 | 7,8 | 38,5 | 8,9 | 45,2 | 10,5 | 52,0 | 12,0 | 56,4 | 13,1 | 62,3 | 14,4 | 70,7 | 16,4 |
| 1080 | 18 | 26,8 | 4,1 | 33,0 | 5,1 | 36,7 | 5,7 | 41,7 | 6,4 | 48,9 | 7,5 | 56,3 | 8,7 | 61,1 | 9,4 | 67,4 | 10,4 | 76,5 | 11,8 |
| 1440 | 24 | 28,4 | 3,3 | 34,9 | 4,0 | 38,9 | 4,5 | 44,1 | 5,1 | 51,7 | 6,0 | 59,5 | 6,9 | 64,6 | 7,5 | 71,3 | 8,3 | 80,9 | 9,4 |
| 2880 | 48 | 32,5 | 1,9 | 39,9 | 2,3 | 44,5 | 2,6 | 50,5 | 2,9 | 59,1 | 3,4 | 68,1 | 3,9 | 73,9 | 4,3 | 81,6 | 4,7 | 92,6 | 5,4 |
| 4320 | 72 | 35,1 | 1,4 | 43,1 | 1,7 | 48,1 | 1,9 | 54,6 | 2,1 | 64,0 | 2,5 | 73,7 | 2,8 | 80,0 | 3,1 | 88,3 | 3,4 | 100,2 | 3,9 |
| 5760 | 96 | 37,2 | 1,1 | 45,6 | 1,3 | 50,9 | 1,5 | 57,7 | 1,7 | 67,7 | 2,0 | 77,9 | 2,3 | 84,6 | 2,4 | 93,3 | 2,7 | 105,9 | 3,1 |
| 7200 | 120 | 38,8 | 0,9 | 47,6 | 1,1 | 53,1 | 1,2 | 60,3 | 1,4 | 70,7 | 1,6 | 81,3 | 1,9 | 88,3 | 2,0 | 97,5 | 2,3 | 110,6 | 2,6 |
| 8640 | 144 | 40,2 | 0,8 | 49,4 | 1,0 | 55,0 | 1,1 | 62,5 | 1,2 | 73,2 | 1,4 | 84,3 | 1,6 | 91,5 | 1,8 | 101,0 | 1,9 | 114,6 | 2,2 |
| 10080 | 168 | 41,4 | 0,7 | 50,9 | 0,8 | 56,7 | 0,9 | 64,4 | 1,1 | 75,4 | 1,2 | 86,8 | 1,4 | 94,3 | 1,6 | 104,0 | 1,7 | 118,1 | 2,0 |

Starkniederschlagshöhen und -spenden gemäß KOSTRA-DWD-2020

Rasterfeld 168115

(Zeile 168, Spalte 115)

Örtliche Unsicherheiten in Abhängigkeit von Wiederkehrzeit T und Dauerstufe D

| Dauerstufe D | | Wiederkehrzeit T | | | | | | | | |
|--------------|-----|------------------|-----|-----|-----|------|------|------|------|-------|
| | | 1 a | 2 a | 3 a | 5 a | 10 a | 20 a | 30 a | 50 a | 100 a |
| min | Std | ± % | ± % | ± % | ± % | ± % | ± % | ± % | ± % | ± % |
| 5 | | 11 | 11 | 11 | 11 | 12 | 13 | 13 | 13 | 14 |
| 10 | | 11 | 13 | 14 | 15 | 16 | 16 | 17 | 17 | 18 |
| 15 | | 14 | 15 | 16 | 17 | 18 | 19 | 19 | 20 | 20 |
| 20 | | 15 | 17 | 18 | 18 | 19 | 20 | 21 | 21 | 22 |
| 30 | | 16 | 18 | 19 | 20 | 21 | 22 | 22 | 23 | 23 |
| 45 | | 17 | 19 | 20 | 21 | 22 | 23 | 23 | 24 | 24 |
| 60 | 1 | 17 | 19 | 20 | 21 | 22 | 23 | 24 | 24 | 25 |
| 90 | 1,5 | 17 | 19 | 20 | 21 | 22 | 23 | 23 | 24 | 25 |
| 120 | 2 | 17 | 19 | 20 | 21 | 22 | 23 | 23 | 24 | 24 |
| 180 | 3 | 16 | 18 | 19 | 20 | 21 | 22 | 23 | 23 | 24 |
| 240 | 4 | 15 | 17 | 18 | 19 | 21 | 21 | 22 | 22 | 23 |
| 360 | 6 | 15 | 17 | 18 | 19 | 20 | 21 | 21 | 21 | 22 |
| 540 | 9 | 14 | 16 | 17 | 18 | 19 | 20 | 20 | 21 | 21 |
| 720 | 12 | 13 | 15 | 16 | 17 | 18 | 19 | 19 | 20 | 20 |
| 1080 | 18 | 13 | 14 | 15 | 16 | 17 | 18 | 18 | 19 | 19 |
| 1440 | 24 | 12 | 14 | 15 | 16 | 17 | 17 | 18 | 18 | 19 |
| 2880 | 48 | 12 | 13 | 14 | 15 | 15 | 16 | 17 | 17 | 17 |
| 4320 | 72 | 12 | 13 | 14 | 14 | 15 | 16 | 16 | 16 | 17 |
| 5760 | 96 | 12 | 13 | 13 | 14 | 15 | 15 | 16 | 16 | 17 |
| 7200 | 120 | 12 | 13 | 13 | 14 | 15 | 15 | 16 | 16 | 16 |
| 8640 | 144 | 12 | 13 | 13 | 14 | 15 | 15 | 15 | 16 | 16 |
| 10080 | 168 | 13 | 13 | 13 | 14 | 14 | 15 | 15 | 16 | 16 |

Parameter für abweichende T und D

Lokationsparameter ξ (Xi)

15,3544643

Skalenparameter α (Alpha)

4,85738974

Formparameter κ (Kappa)

-0,1

1. Koutsoyiannis-Parameter θ (Theta)

0,02196116

2. Koutsoyiannis-Parameter η (Eta)

0,80613634

Parameter für dauerstufenübergreifende Extremwertschätzung nach KOUTSOYIANNIS et al. 1998.

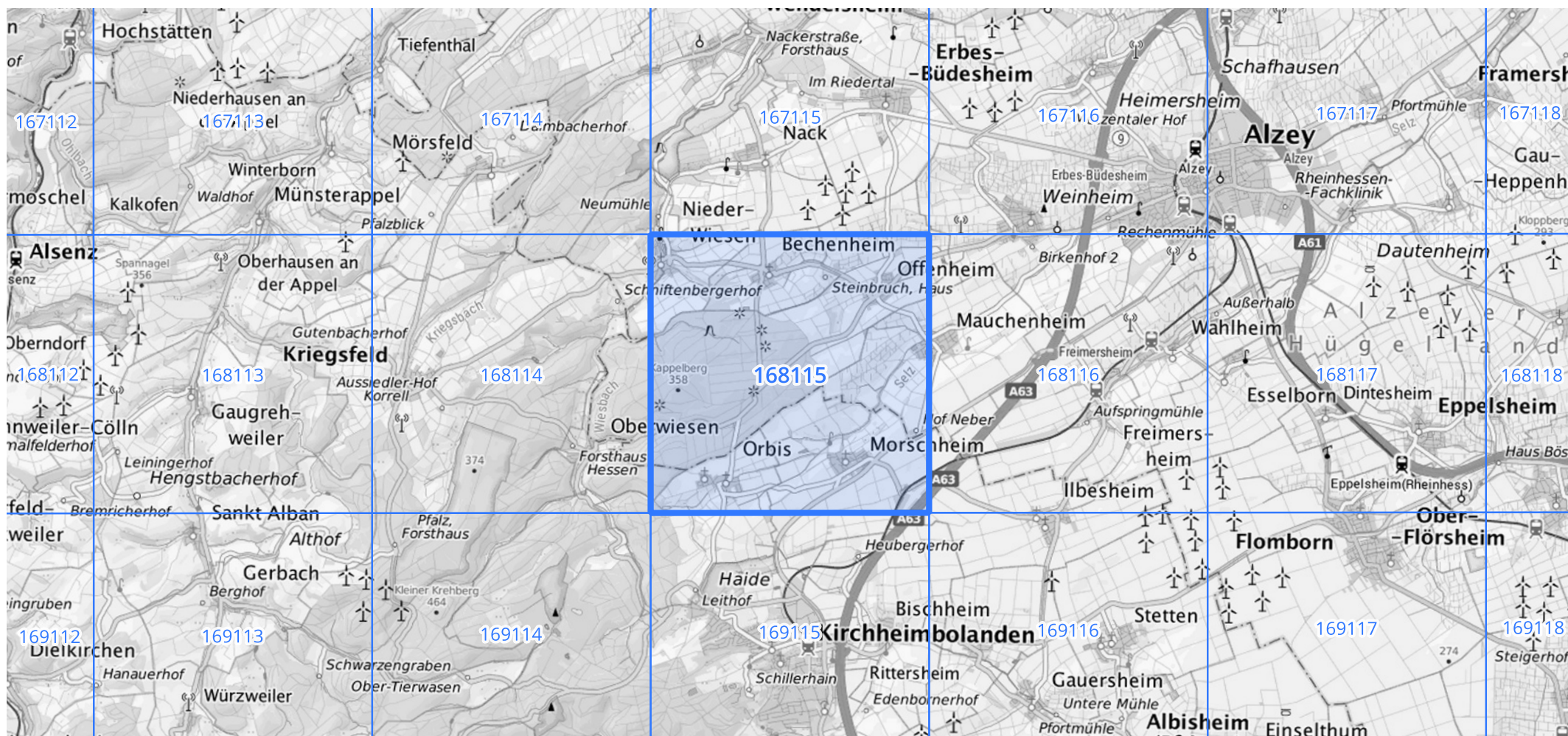
Siehe auch Anwendungshilfe zu KOSTRA-DWD-2020 des Deutschen Wetterdienstes.

Starkniederschlagshöhen und -spenden gemäß KOSTRA-DWD-2020

Rasterfeld 168115

(Zeile 168, Spalte 115)

Übersichtskarte des Rasterfeldes 168115, M 1 : 100 000



Quelle Rasterdaten: KOSTRA-DWD-2020 des Deutschen Wetterdienstes, Stand 12/2022.

Seite 3 von 3

Kartendarstellung: © Bundesamt für Kartographie und Geodäsie (2023), Datenquellen: https://sgx.geodatenzentrum.de/web_public/gdz/datenquellen/Datenquellen_TopPlusOpen.html

Für die Richtigkeit und Aktualität der Angaben wird keine Gewähr übernommen. Erstellt 01/2023.